

عملکرد جبرانساز استاتیکی توزیع (D-STATCOM) مبتنی بر مدولاسیون پهنهای پالس بردار فضایی در برابر کمبود و بیشبود ولتاژ

حسن براتی^{*}، حمید کریمی^۲، علیرضا سیفی^۳، وحید خرمشاهی^۴

- ۱- استادیار گروه مهندسی برق، دانشگاه آزاد اسلامی واحد دزفول، دزفول، ایران، barati216@gmail.com
- ۲- کارشناسی ارشد برق، شرکت پالایش گاز پارسیان، مهر، ایران، hkfars@yahoo.com
- ۳- دانشیار، دانشکده مهندسی برق و کامپیوتر، دانشگاه شیراز، شیراز، ایران، siefi@shirazu.ac.ir
- ۴- مریم گروه مهندسی برق، دانشگاه آزاد اسلامی واحد دزفول، دزفول، ایران، vkhoramshahi@yahoo.com

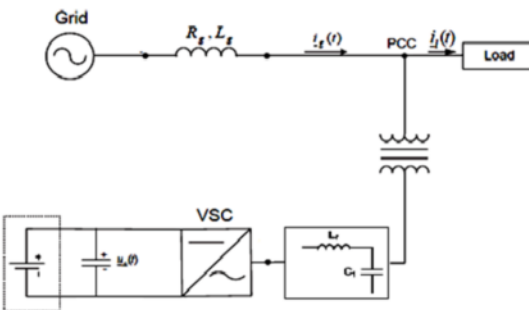
چکیده: برای بهبود کیفیت توان شبکه‌های توزیع، روش‌های زیادی استفاده می‌شود که کارآمدترین و مؤثرترین آنها استفاده از ادوات Custom Power می‌باشد. این ادوات براساس اصول کار مبدل منبع ولتاژ VSC یکی از تجهیزات D-STATCOM می‌باشد که با تردد جریان، توان راکتیو شین را کنترل می‌کند و باعث تثبیت ولتاژ شین در محل نصب می‌شود. در این مقاله، عملکرد D-STATCOM در اصلاح کمبود و بیشbود ولتاژ در شبکه توزیع براساس مدولاسیون پهنهای پالس سینوسی (SPWM)^۱ و مدولاسیون پهنهای پالس بردار فضایی (SVPWM)^۲ با استفاده از نرم‌افزار PSCAD/EMTDC شیوه‌سازی می‌شود و برای تولید سیگنال‌های کلیدزنی مبدل منبع ولتاژ این تجهیز از هر یک از این مدولاسیون‌ها استفاده می‌شود و عملکرد D-STATCOM در صورت بکارگیری هر یک از این مدولاسیون‌ها با هم مقایسه خواهد شد. D-STATCOM مبتنی بر مدولاسیون پهنهای پالس بردار فضایی بطور مؤثرتری کمبود ولتاژ و بیشbود ولتاژ را بازیابی می‌کند و همچنین باعث ایجاد اعوجاج هارمونیکی کمتری می‌شود.

واژه‌های کلیدی: کمبود ولتاژ، بیشbود ولتاژ، جبرانساز استاتیکی توزیع (D-STATCOM)، مدولاسیون پهنهای پالس سینوسی (SPWM)، مدولاسیون پهنهای پالس بردار فضایی (SVPWM).

استاندارد IEEE-1159-1995 کمبود ولتاژ بصورت «کاهش ناگهانی مقدار مؤثر ولتاژ به میزان ۹۰٪ تا ۱۰٪ در فرکانس نامی و در مدت زمان بین ۵/۰ سیکل تا ۱ دقیقه» و بیشbود ولتاژ بصورت «افزایش ناگهانی مقدار مؤثر ولتاژ به میزان بیشتر از ۱۱۰٪ در فرکانس نامی و در مدت زمان بین ۵/۰ سیکل تا ۱ دقیقه» تعریف شده است. از عوامل ایجاد کمبود ولتاژ، راهاندازی بارهای بزرگ و سنگین القایی، برق‌دار کردن ترانسفورماتورها و اتصال کوتاهها و از عوامل ایجاد بیشbود ولتاژ، خطاهای اتصال کوتاه تکفار، دوفاز، در سرویس قرار گرفتن بانک خازنی بزرگ، از سرویس خارج کردن بارهای سنگین می‌باشد. در راستای طرح و توسعه سیستم‌های الکترونیک قدرت و بالا بردن کیفیت توان، مؤسسات تحقیقات توان الکتریکی، ادوات Custom Power را در شبکه‌های توزیع معرفی کرده‌اند که این تجهیزات در صدد بهبود

۱- مقدمه

گسترش و رشد روزافزون مصرف انرژی الکتریکی و رشد بارهای حساس از جمله دستگاه‌های الکترونیکی و حساسیت زیاد این ادوات به انواع اغتشاشات توان، آنها را مواجه با پدیده‌های مختلفی نموده است. واژه کیفیت توان به عنوان یک مفهوم فراگیر برای انواع مختلف اغتشاشات کیفیت توان شبکه بکار می‌رود. به طور کلی هر گونه مشکلی که باعث تغییر در ولتاژ، جریان یا فرکانس گردد و موجب خرابی و یا عملکرد نادرست تجهیزات مصرف‌کننده شود، به عنوان یک مشکل کیفیت توان مطرح است. از مهمترین مشکلات کیفیت توان، کمبود ولتاژ^۳ و بیشbود ولتاژ^۴ می‌باشد که از مهمترین چالش‌های شرکت‌های توزیع برق در مواجهه با صنایع پیشرفته می‌باشند و تقریباً ۸۰٪ از مشکلات کیفیت برق موجود در سیستم را شامل می‌شود. در



شکل (۱): شماتیک D-STATCOM متصل شده به شبکه توزیع [۵]

• واحد ذخیره‌ساز انرژی

باتری‌ها، ابرخازن‌ها، مبدل دیودی با یک خازن موازی، چرخ‌لنگرهای (FESS)^۹ و ذخیره‌ساز انرژی مغناطیسی ابررسانا (SMES)^{۱۰} می‌توانند یونیون منبع ذخیره انرژی DC در D-STATCOM استفاده شوند. همچنین منبع ولتاژ DC در D-STATCOM می‌تواند یک خازن باشد که ولتاژ آن می‌تواند با کنترل کنورتر بالا یا پایین برود. در چنین روشی انرژی ذخیره شده در خازن افزایش یا کاهش می‌یابد. البته در این صورت فقط امکان تزریق یا جذب توان راکتیو وجود دارد.

• واحد فیلتر

معمولًا از یک فیلتر پسیو شامل سلف یا سلف و خازن در خروجی اینورتر استفاده می‌شود که باعث کاهش ریپل ولتاژ تولید شده توسط کلیدزنی اینورترهای D-STATCOM می‌شود. همچنین از راکتانس ترانسفورماتور تزریق می‌توان یعنوان بخشی از سلف فیلتر استفاده کرد.

• ترانسفورماتور تزریق

در D-STATCOM ترانسفورماتور تزریق بصورت موازی با شبکه وصل می‌شود. جریان تزریقی توسط D-STATCOM از طریق راکتانس ترانسفورماتور اتصال یا تزریق به شبکه تزریق می‌شود. هدف از قرار دادن ترانسفورماتور، حفاظت و فراهم کردن ایزولاسیون بین ساق‌های اینورتر می‌باشد. این کار از اتصال کوتاه شدن خازن ذخیره انرژی DC جلوگیری می‌کند. جهت کاهش هزینه معمولاً از یک ترانسفورماتور سه سیم‌پیچه استفاده می‌شود که سیم‌پیچ ثالثیه سطح انتقال را به ولتاژ سطح توزیع انتقال می‌دهد و از سیم‌پیچ ثالثیه آن جهت اتصال D-STATCOM به شبکه استفاده می‌شود. اتصال این ترانسفورماتور سه سیم‌پیچه معمولاً بصورت $\Delta/\Delta/Y$ می‌باشد [۱۰-۹].^{۱۱} انتخاب اجزای ترانسفورماتور اتصال، تأثیر زیادی بر عملکرد جبران کنندگی D-STATCOM دارد. راکتانس ترانسفورماتور اتصالی را می‌توان به عنوان یک راکتور که هارمونیک‌های متوسط و بالای ولتاژ خروجی D-STATCOM را تضعیف می‌کند در نظر گرفت.

کیفیت توان در شبکه توزیع می‌باشد [۱]. در مرجع [۲]، انواع تجهیزات custom power و کاربردهای آنها شرح داده شده است.

تجهیزات Custom Power براساس اصول کار مبدل منبع ولتاژ VSC^{۱۲} طراحی شده‌اند و مبدل منبع ولتاژ قسمت اصلی آنها می‌باشد. تکنولوژی مبدل منبع ولتاژ VSC چندین مشخصه مطلوب از قبیل پاسخ سریعتر، تأثیر کم خروجی با تغییرات شبکه و امکان استفاده با تجهیزات ذخیره انرژی جهت جبران‌سازی همزمان توان اکتیو و راکتیو را دارد. کنترل ولتاژ خروجی این ادوات توسط الگوی کلیدزنی PWM^۷ که باعث کاهش تولید هارمونیک‌های مرتبه پایین می‌گردد انجام می‌شود [۴-۳].

یک نمونه از تجهیزات Custom Power، جبران‌گر سنکرون استاتیکی توزیع (D-STACOM) می‌باشد که در سال‌های اخیر توجه زیادی به آن شده است. پاسخ سریع و عدم تولید هارمونیک‌های فرکانس پایین برای از بین بردن نامتعادلی، جبران توان اکتیو، حذف هارمونیک‌ها، جبران مؤلفه منفی، تنظیم ولتاژ سیستم AC و کاهش فلیکر از مشخصه‌های بارز D-STACOM می‌باشد [۵]. در مرجع [۶]، مدهای عملکردی D-STACOM بیان شده است.

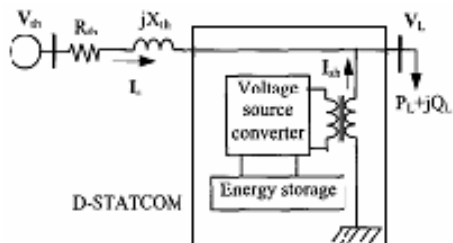
الگوهای کلیدزنی PWM مختلفی برای تولید سیگنال‌های سوئیچزنی مبدل منبع ولتاژ بکار رفته در D-STACOM وجود دارد که هر کدام مزایا و معایب خاص خودشان را دارند از جمله SPWM و SVPWM. در مرجع [۷]، روابط ریاضی و مراحل پیاده‌سازی نرم-افزاری مدولاسیون پهنهای پالس بردار فضایی (SVPWM) بیان شده است.

در این مقاله از این تجهیز برای تنظیم ولتاژ و جبران‌سازی کمبود و بیشود ولتاژ استفاده می‌شود و عملکرد این تجهیز در صورت بکارگیری هر یک از مدولاسیون‌های پهنهای پالس سینوسی (SPWM) و مدولاسیون پهنهای پالس بردار فضایی (SVPWM) برای تولید سیگنال‌های کلیدزنی مبدل منبع ولتاژ آن بررسی و مقایسه می‌شود. مبدل منبع ولتاژ مبتنی بر مدولاسیون پهنهای پالس بردار فضایی از ولتاژ شین DC بطور موثرتری استفاده می‌کند و اعوجاج هارمونیکی کل (THD)^۸ کمتری تولید می‌کند و دارای مدولاسیون دامنه بالاتر و در نتیجه ولتاژ خروجی بالاتر می‌باشد. به عبارتی در شرایط اغتشاش جبران‌سازی ولتاژ را بهتر انجام می‌دهد.

۲- ساختار و اجزای D-STATCOM

D-STATCOM از یک مبدل منبع ولتاژ DC به AC (اینورتر)، منبع ولتاژ DC، خازن DC، فیلتر AC، ترانسفورماتور تزریق موازی (ترانسفورماتور کوپلینگ) و یک استراتژی کنترلی تشکیل شده است و شماتیک آن در شکل (۱) نشان داده شده است [۸]. اجزاء و ساختار آن در ادامه بطور خلاصه توضیح داده می‌شوند.

از روابط (۱) و (۲) مشاهده می‌شود که مقدار جریان راکتیو مورد نیاز برای ثابت نگه داشتن ولتاژ اتصال بار در مقدار مرجع طی کمود ولتاژ با امپدانس سیستم رابطه معکوس دارد.



شکل (۲): مدار معادل تونن شبکه با حضور D-STATCOM

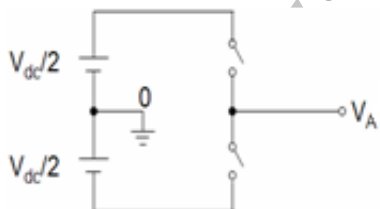
توان ظاهری تزریقی توسط D-STATCOM بصورت رابطه زیر بیان می‌شود:

$$S_{th} = V_L I_{sh}^*$$
 (۳)

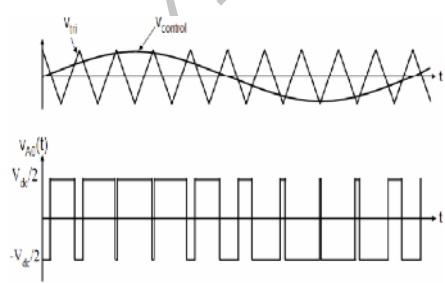
هنگامیکه جریان تزریقی شنت I_{sh} با V_L عمود است (جریان تزریقی راکتیو خازنی خالص باشد)، هیچ توان اکتیوی به سیستم برای اصلاح ولتاژ تزریق نمی‌شود و اصلاح ولتاژ فقط با تزریق توان راکتیو انجام می‌شود [۹ و ۱۰].

۴- مدولاسیون پهنه‌ای پالس سینوسی (SPWM)

شکل (۳) مدار یک اینورتر تکفاز با لینک DC زمین شده در وسط شین را نشان می‌دهد و شکل (۴) اساس عملکرد مدولاسیون پهنه‌ای پالس سینوسی را نشان می‌دهد.



شکل (۳): مدار معادل یک اینورتر تک فاز [۱۱ و ۱۲]



شکل (۴): مدولاسیون پهنه‌ای پالس سینوسی [۱۱ و ۱۲]

همچنان که در شکل (۴) نشان داده شده است در مدولاسیون پهنه‌ای پالس سینوسی، پالسها از تقاطع موج سینوسی با موج حامل (مثلثی) ایجاد می‌شوند و ولتاژ خروجی اینورتر طبق رابطه (۴) تعیین می‌شود:

• خازن DC

معمولًا از خازن به عنوان منبع DC در اینورتر استفاده می‌شود و در نتیجه باعث می‌شود D-STATCOM توان راکتیو تولید و یا جذب کند. این خازن بصورت موازی با اینورتر D-STATCOM متصل می‌شود. هنگامی که ولتاژ شبکه بیشتر از ولتاژ D-STATCOM می‌باشد خازن شارژ می‌شود و هنگامیکه ولتاژ شبکه کمتر از ولتاژ خروجی اینورتر می‌باشد خازن دشارژ می‌شود. برای تزریق توان اکتیوی توسط D-STATCOM باید یک منبع خارجی یا سیستم ذخیره انرژی استفاده شود. وظیفه خازن DC در این شرایط ثابت نگه داشتن مقدار ولتاژ DC می‌باشد. در این حالت خازن به عنوان یک منبع ذخیره انرژی بکار نمی‌رود.

• مبدل منبع ولتاژ

بلوک اصلی D-STATCOM یک مبدل منبع ولتاژ (اینورتر) می‌باشد که ولتاژ ورودی DC را به ولتاژ سه‌فاز AC خروجی در فرکانس اصلی تبدیل می‌کند. این ولتاژ سه‌فاز با سیستم AC هم‌فاز هستند و از طریق راکتانس ترانسفورماتور کوپلینگ با سیستم کوبله می‌شوند. تنظیم مناسب دامنه و فاز ولتاژ خروجی D-STATCOM باعث می‌شود کنترل مؤثری روی تبادل توان اکتیو و راکتیو بین D-STATCOM و سیستم AC ایجاد شود. اینورتر سه‌فاز استفاده شده در D-STATCOM، معمولاً اینورتر سه فاز دو سطحه پل گرتز می‌باشد که از ۶ کلید GTO^{۱۱}، IGBT^{۱۲}، MOSFET^{۱۳} یا IGCT^{۱۴} تشکیل شده است و از مدولاسیون پهنه‌ای پالس برای تولید پالس‌های آتش سوئیچ‌ها استفاده می‌کند.

۳- محاسبه جریان و توان تزریقی

در جبران کمبوود ولتاژ

D-STATCOM به صورت یک جبران‌کننده وار استاتیکی موازی عمل می‌کند که جریان اندوکتیو یا خازنی خروجی اش می‌تواند مستقل از ولتاژ سیستم کنترل شود. اندازه ولتاژ جبران شده بوسیله مشخصات سیستم و بار محدود می‌شود. تنظیم مناسب دامنه و فاز ولتاژ خروجی D-STATCOM باعث می‌شود کنترل مؤثری روی تبادل توان اکتیو و راکتیو بین D-STATCOM و سیستم AC ایجاد شود و این تجهیز توان اکتیو و راکتیو قابل کنترل تولید و یا جذب کند [۱۰].

شکل (۲) نشان می‌دهد که تزریق جریان موازی I_{sh} ، کمبوود ولتاژ را بوسیله تنظیم افت ولتاژ دو سر امپدانس سیستم Z_{th} اصلاح می‌کند. مقدار جریان I_{sh} بوسیله تنظیم ولتاژ خروجی کنورتر کنترل می‌شود. جریان تزریقی شنت بصورت رابطه (۱) بیان می‌شود [۹ و ۱۰]:

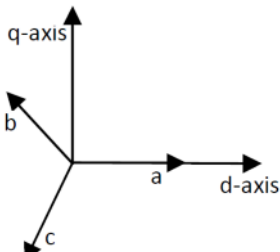
$$I_{sh} = I_L - I_S = I_L - \frac{V_{th} - V_L}{Z_{th}} \quad (۱)$$

با فرض اینکه زاویه ولتاژ بار صفر در نظر گرفته شود داریم:

$$I_{sh} \angle \alpha = I_L \angle (-\varphi) - \frac{V_{th}}{Z_{th}} \angle (\delta - \beta) + \frac{V_L}{Z_{th}} \angle -\beta \quad (۲)$$

بردار فضایی در صفحه $\alpha - \beta$ می‌باشد. مؤلفه‌های α و β تبدیل کلارک می‌باشند. این نوع PWM اعوجاج هارمونیکی کمتری در ولتاژ‌های خروجی VSC تولید می‌کند.

برای پیاده‌سازی PWM بردار فضایی همچنانکه در شکل(۶) نشان داده شده است معادلات ولتاژ در قاب مرجع سه فاز abc به قاب مرجع dq ساکن یا $\alpha\beta$ که شامل محور d (افقی) و q (عمودی) می‌باشد تبدیل می‌شوند.



شکل(۶): رابطه قاب مرجع سه فاز و قاب مرجع dq ساکن [۱۲]

از شکل (۶) رابطه بین این دو قاب مرجع بصورت معادله (۶) می‌باشد:

(۶)

$$K_S = \frac{2}{3} \begin{bmatrix} 1 & -\frac{1}{2} & -\frac{1}{2} \\ 0 & \frac{\sqrt{3}}{2} & -\frac{\sqrt{3}}{2} \\ \frac{1}{2} & \frac{1}{2} & \frac{1}{2} \end{bmatrix} \quad (۷)$$

و f می‌تواند یک متغیر ولتاژ یا جریان باشد.

شش بردار غیر صفر و دو بردار صفر جهت مدولاسیون بردار فضایی VI-V6 برای اینورتر دو سطحی امکان پذیر است. شش بردار غیر صفر مدولاسیون VI-V6 بصورت محورهای یک شش ضلعی نشان داده شده‌اند (شکل(۶)) و توان ۶۰ درجه می‌باشد، در ضمن دو بردار صفر V0 و V7 در مبدأ می‌باشند و ولتاژ صفر را اعمال می‌کنند. هشت بردار، بردارهای فضایی اصلی نامیده می‌شوند و بصورت VI, V0...V7, VI, V0...V2, VI واحد می‌باشد و طول بردارهای V6...V2, VI این هشت بردار، فضای برداری - ولتاژ را تشکیل می‌دهند. در فضای برداری بر طبق اصل تعادل روابط زیر بین بردارها برقرار می‌باشند:

$$\bar{V}_1 = -\bar{V}_4, \bar{V}_2 = -\bar{V}_5, \bar{V}_3 = -\bar{V}_6 \quad (۸)$$

$$\bar{V}_1 + \bar{V}_3 + \bar{V}_5 = 0 \quad (۹)$$

همچنانکه در شکل(۷) نشان داده شده است فضای برداری ولتاژ ۶ سکتور تقسیم می‌شود و هر سکتور شامل یک مثلث متساوی‌الاضلاع است که هر ضلع آن بر روی مقدار واحد نرمالیزه شده است. دو ضلع هر یک از این مثلث‌ها که رأس آنها در مرکز این دیاگرام است دو بردار حالت سوئیچینگ را مشخص می‌کنند. مرکز این شش ضلعی دو بردار صفر (000) و (111) را مشخص می‌کند.

هدف از تکنیک SVPWM، تقریب زدن بردار ولتاژ مرجع V_{ref} با استفاده از ۸ الگوی کلیدزنی می‌باشد. یک روش، بدست آوردن متوسط ولتاژ خروجی در یک دوره T می‌باشد [۱۴][۵].

$$V_{control} > V_{tri} \Rightarrow V_{A0} = V_{dc}/2$$

$$V_{control} < V_{tri} \Rightarrow V_{A0} = -V_{dc}/2 \quad (۴)$$

که $V_{control}$ پیک ولتاژ موج سینوسی یا مرجع و V_{tri} پیک ولتاژ موج حامل (مثلثی) و V_{dc} ولتاژ لینک dc می‌باشد.

همچنین ولتاژ خروجی اینورتر ویژگیهای زیر را دارد:

- فرکانس PWM با فرکانس موج حامل (موج مثلثی) برابر است.
- دامنه توسط پیک ولتاژ سینوسی ($V_{CONTROL}$) کنترل می‌شود.

• مؤلفه فرکانس اصلی بوسیله فرکانس موج سینوسی ($V_{CONTROL}$) کنترل می‌شود.

شاخص مدولاسیون بصورت رابطه (۵) تعریف می‌شود:

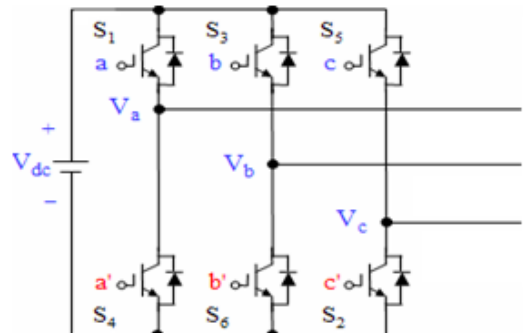
$$m_a = \frac{V_{control}}{V_{tri}} = \frac{peak(V_{AO1})}{V_{dc}}^2 \quad (۵)$$

که m_a شاخص مدولاسیون دامنه و V_{AO1} مؤلفه فرکانس اصلی می‌باشد.

در PWM سینوسی سه فاز، سیگنال‌های مدوله کننده مرجع سه‌فاز با یک موج حامل مثلثی جهت تولید سیگنال‌های PWM مقایسه می‌شوند و از تقاطع هر موج سینوسی با موج مثلثی ولتاژ‌های فاز بدست می‌آیند [۷].

۵-مدولاسیون پهنهای پالس بردار فضایی (SVPWM) مدولاسیون پهنهای پالس بردار فضایی (SVPWM) یک تکنیک پیشرفته‌تری برای تولید موج سینوسی می‌باشد و یک ولتاژ بالا با THD کمتر فراهم می‌کند. مدولاسیون پهنهای پالس بردار فضایی (SVPWM) به عنوان مناسب‌ترین روش برای کنترل ولتاژ مبدل‌های منبع ولتاژ (VSC) می‌باشد [۱۱-۱۴].

مدار یک مبدل منبع ولتاژ PWM سه فاز دو سطحی در شکل(۵) نشان داده شده است.

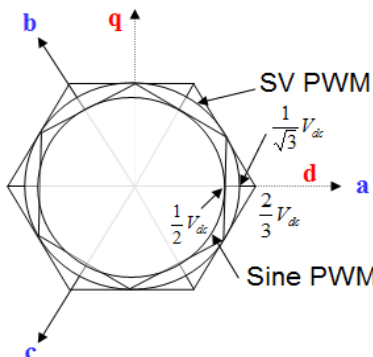


شکل(۵): مبدل منبع ولتاژ سه فاز [۸]

S1-S6، شش کلید ادوات الکترونیک قدرت می‌باشد که به وسیله سوئیچ کردن a و a'، b و b'، c و c' کنترل می‌شوند. هنگامی که یکی از سوئیچ‌های بالایی on می‌باشد یعنی هنگامی که a یا b یا c یا a'، b'، c' صفر می‌باشد سوئیچ متناظر پایینی off می‌باشد یعنی a'، b'، c' یا S5، S3، S1 و S2 on می‌باشد. بنابراین حالت‌های on و off سوئیچ‌های بالایی S1، S3، S5 برای تعیین ولتاژ خروجی استفاده می‌شود. روش SVPWM روشی متفاوت از مدولاسیون PWM می‌باشد و مبتنی بر نمایش ولتاژ‌های

جدول (۱) : الگوهای کلید زنی و بردارهای خروجی [۱۱]

بردارهای ولتاژ	بردار سونینگ			ولتاژ فاز			ولتاژ خط		
	A	B	C	V_{an}	V_{bn}	V_{cn}	V_{ab}	V_{bc}	V_{ca}
V_0	0	0	0	0	0	0	0	0	0
V_1	1	0	0	$\frac{2}{3}$	$-\frac{1}{3}$	$-\frac{1}{3}$	1	0	-1
V_2	1	1	0	$\frac{1}{3}$	$\frac{1}{3}$	$-\frac{2}{3}$	0	1	-1
V_3	0	1	0	$-\frac{1}{3}$	$\frac{2}{3}$	$-\frac{1}{3}$	-1	1	0
V_4	0	1	1	$-\frac{2}{3}$	$\frac{1}{3}$	$\frac{1}{3}$	-1	0	1
V_5	0	0	1	$-\frac{1}{3}$	$\frac{1}{3}$	$\frac{2}{3}$	0	-1	1
V_6	1	0	1	$\frac{1}{3}$	$-\frac{2}{3}$	$\frac{1}{3}$	1	-1	0
V_7	1	1	1	0	0	0	0	0	0



شکل (۹) : مقایسه مکان هندسی ماکریم و لتاژ در SVPWM و SPWM [۱۲و۱۱]

مکان هندسی بردار مرجع در SVPWM درون یک دایره به $\frac{1}{\sqrt{3}} * V_{dc}$ می باشد و مکان هندسی بردار مرجع در SPWM درون یک دایره به شعاع $\frac{1}{2} * V_{dc}$ می باشد.

$$\frac{V_{MAX_SVPWM}}{V_{MAX_SPWM}} = \frac{\frac{1}{\sqrt{3}}}{\frac{1}{2}} = \frac{2}{\sqrt{3}} = 1.1547 \quad (10)$$

پس ماکریم و لتاژی که توسط SVPWM نسبت به SPWM می توان ایجاد کرد ۱۵٪ بیشتر می باشد [۱۲و۱۱]. به عبارتی ماکریم شاخص مدولاسیون دامنه (m_a) در رنج خطی در $SVPWM$, $\frac{2}{\sqrt{3}}$ می باشد، در حالیکه ماکریم شاخص مدولاسیون دامنه در $SPWM$, ۱ می باشد [۱۱و۱۲].

۲-۵- پیاده سازی SVPWM

بصورت مراحل زیر پیاده سازی می شود [۱۱-۱۴]:

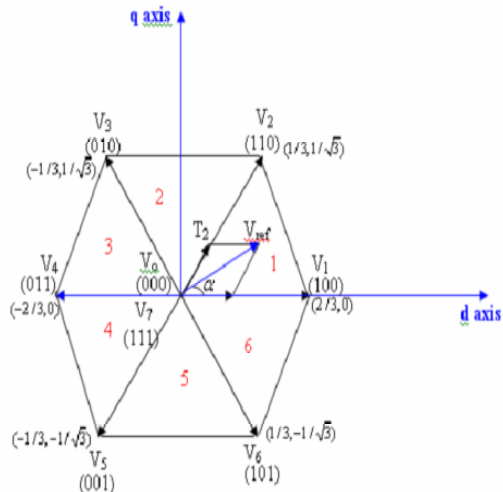
گام ۱: تعیین V_d , V_q و زاویه α

گام ۲: تعیین دوره زمانی T_0 , T_1 , T_2 , T_3

گام ۳: تعیین زمان سوئیچ زنی هر کلید (S1 تا S6).

۲-۵-۱- تعیین V_d , V_q و زاویه α

از شکل (۱۰)، V_d , V_q و زاویه α به صورت زیر تعیین می شوند:

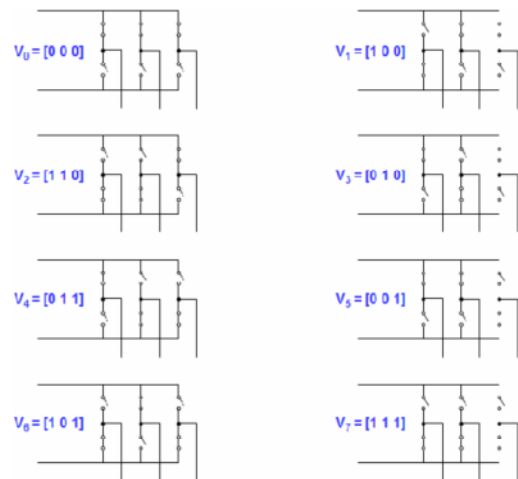


شکل (۷) : سکتورها و بردارهای کلید زنی [۱۱]

۱-۵- حالت های کلیدزنی

در بحث زیر حالت های سوئیچ های پل بالایی ارائه خواهد شد و حالت های سوئیچ های پایینی مکمل آن است. همچنانکه در شکل (۸) نشان داده شده ۸ الگوی کلیدزنی on و off برای سوئیچ های قدرت بالایی وجود دارد. حالت on و off سوئیچ های پایینی مخالف سوئیچ های بالایی می باشد. یک یعنی سوئیچ on و صفر یعنی سوئیچ off می باشد.

جدول (۱) جزئیات ولتاژ های خط و فاز بر حسب ولتاژ dc ورودی برای هشت حالت کلیدزنی را نشان می دهد. مکان هندسی ماکریم و لتاژ هر دو مدولاسیون سینوسی و بردار فضایی در شکل (۹) نشان داده شده است.



شکل (۸) : هشت حالت کلیدزنی بردارهای ولتاژ [۱۱و۱۲]

$$+T_2 \cdot \frac{2}{3} \cdot V_{dc} \cdot \begin{bmatrix} \cos \frac{\pi}{3} \\ \sin \frac{\pi}{3} \end{bmatrix} \quad (18)$$

$$T_1 = T_Z \cdot a \cdot \frac{\sin(\frac{\pi}{3}-\alpha)}{\sin(\frac{\pi}{3})} \quad (0 \leq \alpha \leq 60^\circ) \quad (19)$$

$$T_2 = T_Z \cdot a \cdot \frac{\sin(\alpha)}{\sin(\frac{\pi}{3})} \quad (20)$$

$$T_0 = T_Z - (T_1 + T_2) \quad (21)$$

$$a = \frac{|\bar{V}_{ref}|}{\frac{2}{3}V_{dc}} \quad (22)$$

$$T_Z = \frac{1}{f_Z} \quad (23)$$

ب: محاسبه زمان سوئیچ زنی در هر سکتور

$$T_1 = \frac{\sqrt{3} \cdot T_Z \cdot |\bar{V}_{ref}|}{V_{dc}} \cdot \sin(\frac{n}{3}\pi - \alpha) \quad (24)$$

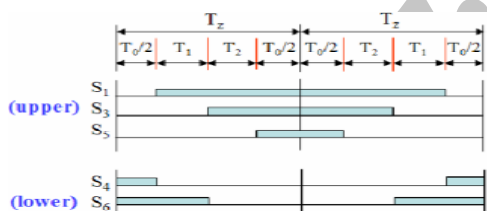
$$T_2 = \frac{\sqrt{3} \cdot T_Z \cdot |\bar{V}_{ref}|}{V_{dc}} \cdot \sin(\alpha - \frac{n-1}{3}\pi) \quad (25)$$

$$T_0 = T_Z - (T_1 + T_2) \quad (n = sector \ 1 \ to \ 6) \quad (0 \leq \alpha \leq 60^\circ) \quad (26)$$

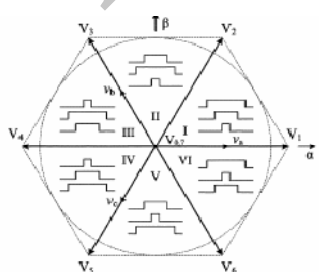
که T1 و T2 مدت زمان فعالیت بردارهای V1 و V2 و T0 مدت زمان فعالیت بردارهای صفر می‌باشد [۱۳-۱۱].

۴-۲-۵- تعیین زمان سوئیچ زنی هر کلید (S1-S6)

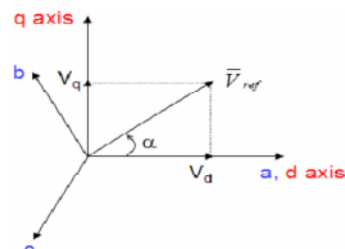
الگوهای سوئیچ زنی PWM بردار فضایی در سکتور ۱ در شکل (۱۲) نشان داده شده است. الگوی سوئیچ زنی سه سوئیچ ردیف بالایی اینورتر در هر سکتور در شکل (۱۳) نشان داده شده است و با توجه به این شکل، زمان سوئیچ زنی در هر سکتور در جدول (۲) لیست شده است.



شکل (۱۲): الگوی کلیدزنی PWM بردار فضایی در سکتور ۱ [۱۳-۱۱]



شکل (۱۳): الگوی کلیدزنی کلیدهای بالایی هر ساق اینورتر در هر سکتور [۱۵]



شکل (۱۰): بردار فضایی ولتاژ و مولفه‌های آن در صفحه dq [۱۱]

$$Vd = Van - Vbn \cdot \cos 60^\circ - Vcn \cdot \cos 60^\circ \\ = Van - \frac{1}{2} \cdot Vbn - \frac{1}{2} \cdot Vcn \quad (11)$$

$$Vq = 0 + Vbn \cdot \cos 30^\circ - Vcn \cdot \cos 30^\circ \\ = Van + \frac{\sqrt{3}}{2} \cdot Vbn - \frac{\sqrt{3}}{2} \cdot Vcn \quad (12)$$

$$\begin{bmatrix} Vd \\ Vq \end{bmatrix} = \frac{2}{3} \cdot \begin{bmatrix} 1 & -\frac{1}{2} & -\frac{1}{2} \\ 0 & \frac{\sqrt{3}}{2} & -\frac{\sqrt{3}}{2} \end{bmatrix} \begin{bmatrix} Van \\ Vbn \\ Vcn \end{bmatrix} \quad (13)$$

$$|\bar{V}_{ref}| = \sqrt{Vd^2 + Vq^2} \quad (14)$$

$$\alpha = \tan^{-1}(\frac{Vq}{Vd}) = \omega t = 2\pi ft \quad (15)$$

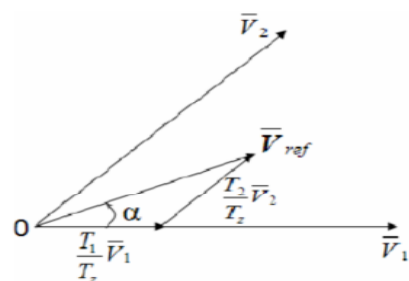
$$\frac{(n-1)\pi}{3} \leq \alpha \leq \frac{n\pi}{3}, \quad n=1,2,\dots,6 \quad (16)$$

که n شماره سکتور می‌باشد [۱۲ و ۱۱].

۴-۲-۵- تعیین دوره زمانی T0، T1 و T2

الف: محاسبه زمان سوئیچ زنی در سکتور ۱

با استفاده از شکل (۱۱)، مدت زمان سوئیچینگ بصورت زیر محاسبه می‌شود:

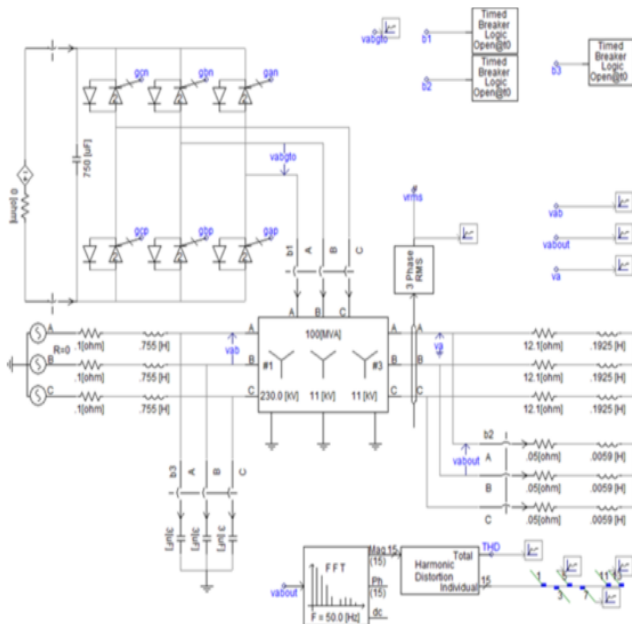


شکل (۱۱): بردار مرتع بصورت ترکیبی از بردارهای مجاور در سکتور ۱ [۱۳ و ۱۱]

$$\int_0^{T1} \bar{V}_{ref} dt = \int_0^{T1} \bar{V}_1 dt + \int_{T1}^{T1+T2} \bar{V}_2 dt \\ + \int_{T1+T2}^{Tz} \bar{V}_0 dt \quad (16)$$

$$T_z \cdot \bar{V}_{ref} = (T_1 \cdot \bar{V}_1 + T_2 \cdot \bar{V}_2) \quad (17)$$

$$\Rightarrow T_z \cdot |\bar{V}_{ref}| \cdot \begin{bmatrix} \cos \alpha \\ \sin \alpha \end{bmatrix} = T_1 \cdot \frac{2}{3} \cdot V_{dc} \cdot \begin{bmatrix} 1 \\ 0 \end{bmatrix}$$



شکل (۱۵): شبیه‌سازی شبکه نمونه شامل D-STATCOM در نرم‌افزار PSCAD/EMTDC

۲-۶- شبیه‌سازی سیستم کنترل D-STATCOM مبتنی بر SPWM در نرم‌افزار PSCAD/EMTDC

سیستم کنترل D-STATCOM مبتنی بر SPWM همچنانکه در بخش پیوست در شکل (پ-۱) نشان داده شده است زاویه ولتاژ را به این صورت کنترل می‌کند که ولتاژ مبنای ولتاژ RMS اندازه‌گیری شده در نقطه اتصال بار مقایسه شده و سیگنال خطاب بست می‌آید. این سیگنال بعد از عبور از یک کنترل کننده PI، زاویه δ را که برای رساندن خطاب به صفر مورد نیاز است، تولید می‌کند. در این حالت ولتاژ بار به مقدار مبنای بازگردانده می‌شود. خروجی کنترل کننده در ضربی ۵۷.۲۹ ضرب می‌شود تا زاویه خروجی کنترل بر حسب درجه باشد. در سیستم کنترل، مدولاسیون فاز در سیگنال کنترل $V_{control}$ با یک سیگنال حامل δ انجام می‌شود. سیگنال مدوله شده $V_{control}$ با میانگین میانگینهای VSC مثلثی مقایسه شده و سیگنالهای کلیدزنی را برای سوئیچرهای تولید می‌کند [۱۰ و ۳].

ضریب مدولاسیون دامنه سیگنال $V_{control}$ (m_a) و ضریب مدولاسیون فرکانس سیگنال مثلثی (m_f) پارامترهای اصلی SPWM می‌باشند. ضریب دامنه 1 pu و فرکانس کلیدزنی 450 هرتز یعنی $m_f = 9$ در نظر گرفته شده است. زاویه δ به فاز a در سیستم تولید کننده PWM اعمال می‌شود و زوایای فازهای b و c به ترتیب با 240° درجه و 120° درجه شیفت تولید می‌شوند.

۳-۶- شبیه‌سازی سیستم کنترل D-STATCOM مبتنی بر SVPWM در نرم‌افزار PSCAD/EMTDC

جدول (۲): محاسبه زمان سوئیچزنی در هر سکتور [۱۰-۸]

سکتور	سوئیچ های بالینه (S_1, S_3, S_5)	سوئیچ های پایینه (S_4, S_6, S_7)
۱	$S_1 = T_1 + T_2 + T_0 / 2$ $S_3 = T_2 + T_0 / 2$ $S_5 = T_0 / 2$	$S_4 = T_0 / 2$ $S_6 = T_1 + T_0 / 2$ $S_7 = T_1 + T_2 + T_0 / 2$
۲	$S_1 = T_1 + T_0 / 2$ $S_3 = T_1 + T_2 + T_0 / 2$ $S_5 = T_0 / 2$	$S_4 = T_2 + T_0 / 2$ $S_6 = T_0 / 2$ $S_7 = T_1 + T_2 + T_0 / 2$
۳	$S_1 = T_0 / 2$ $S_3 = T_1 + T_2 + T_0 / 2$ $S_5 = T_2 + T_0 / 2$	$S_4 = T_1 + T_2 + T_0 / 2$ $S_6 = T_0 / 2$ $S_7 = T_1 + T_0 / 2$
۴	$S_1 = T_0 / 2$ $S_3 = T_1 + T_0 / 2$ $S_5 = T_1 + T_2 + T_0 / 2$	$S_4 = T_1 + T_0 / 2$ $S_6 = T_2 + T_0 / 2$ $S_7 = T_0 / 2$
۵	$S_1 = T_2 + T_0 / 2$ $S_3 = T_0 / 2$ $S_5 = T_1 + T_2 + T_0 / 2$	$S_4 = T_1 + T_0 / 2$ $S_6 = T_1 + T_2 + T_0 / 2$ $S_7 = T_0 / 2$
۶	$S_1 = T_1 + T_2 + T_0 / 2$ $S_3 = T_0 / 2$ $S_5 = T_1 + T_0 / 2$	$S_4 = T_0 / 2$ $S_6 = T_1 + T_2 + T_0 / 2$ $S_7 = T_2 + T_0 / 2$

۶- شبیه‌سازی و تحلیل نتایج

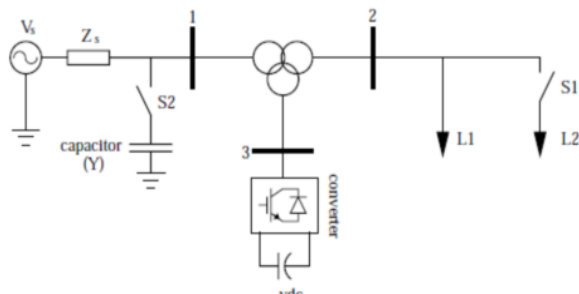
۶-۱- شبکه نمونه با حضور D-STATCOM

شبکه نمونه استفاده شده برای انجام شبیه‌سازی جهت بکارگیری D-STATCOM در شکل (۱۴) نشان داده شده است [۱۰].

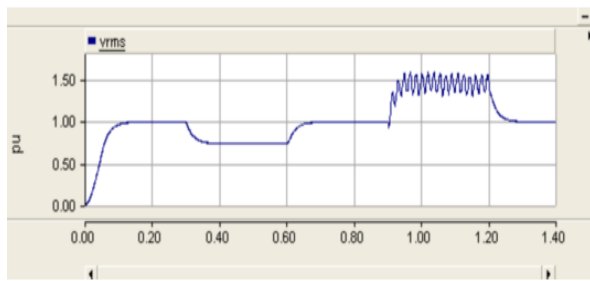
این سیستم توسط سیستم انتقال ۵۰ HZ و ۲۳۰ KV توزیع مدار معادل تونن ارائه شده ایجاد شده است و تغذیه یک شبکه توزیع توسط یک ترانسفورماتور سه سیم بیچه Y/Y/Y (۲۳۰/۱۱/۱۱ KV) اساساً برای تنظیم ولتاژ، اصلاح صورت می‌گیرد. D-STATCOM ضریب توان و حذف هارمونیک‌های جریان استفاده می‌شود. در این مقاله، این تجهیز برای تنظیم پیوسته ولتاژ بار در شرایط کمبود و بیشود ولتاژ ناشی از تغییرات بار بکارگیری شده است [۱۰ و ۳].

مشخصات اجزاء و بارهای شبکه نمونه و مشخصات D-STATCOM بکار رفته در این شبکه بترتیب در جداول (پ-۱) و (پ-۲) در بخش پیوست‌ها داده شده است.

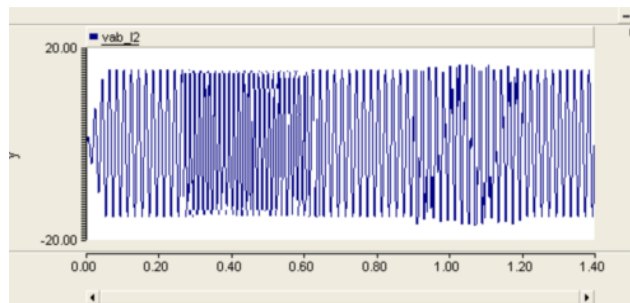
پیاده‌سازی این سیستم توسط نرم‌افزار PSCAD/EMTDC در شکل (۱۵) نشان داده شده است.



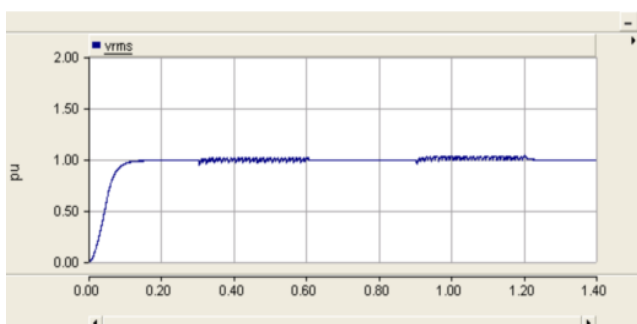
شکل (۱۴): دیاگرام تک خطی سیستم تست برای بکارگیری D-STATCOM [۱۰]



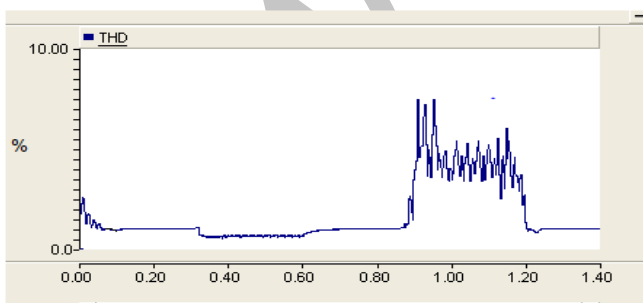
شکل (۱۷): مقدار مؤثر ولتاژ بار در اثر کمبود و بیشبود ولتاژ بدون حضور D-STATCOM



شکل (۱۸): ولتاژ بار در اثر کمبود و بیشبود ولتاژ سه‌فاز با حضور SPWM مبتنی بر D-STATCOM



شکل (۱۹): مقدار مؤثر ولتاژ بار در اثر کمبود و بیشبود ولتاژ با حضور SPWM مبتنی بر STATCOM



شکل (۲۰): THD شین بار در هنگام جبرانسازی کمبود و بیشبود سه‌فاز توسط SPWM D-STATCOM مبتنی بر

برای پیاده‌سازی سیستم کنترل مبتنی بر SVPWM در نرم‌افزار PSCAD، به صورت مراحل زیر عمل می‌شود:

الف: محاسبه اندازه کمبود و بیشبود ولتاژ و تولید سیگنال مرجع

ب: محاسبه اندازه ولتاژ مرجع V_{ref} و زاویه α و تعیین سکتور

ج: محاسبه زمان در سرویس بودن دو بردار مجاور فعال و بردارهای

صفر (T_0 , T_1 , T_2)

د: محاسبه سیکل کاری (زمان سوئیچزنی هر کلید در هر سیکل) و تولید سیگنال‌های مدولاسیون

هر یک از مراحل فوق در ۴ قسمت توسط نرم‌افزار PSCAD شبیه-سازی می‌شوند. این ۴ قسمت در شکل‌های (پ-۲-الف) تا (پ-۲-د)

نشان داده شده‌اند.

در شکل (پ-۲-الف)، اندازه کمبود یا بیشبود ولتاژ و زاویه α که برای رساندن خطا به صفر مورد نیاز است، جهت تعیین سیگنال‌های مرجع بدست آورده می‌شوند.

در شکل (پ-۲-ب)، اندازه ولتاژ مرجع و زاویه α با استفاده از ولتاژ سه‌فاز مرجع تعیین می‌شوند. برای تعیین شماره سکتور، باید رنج زاویه α بین 0 و 2π باشد.

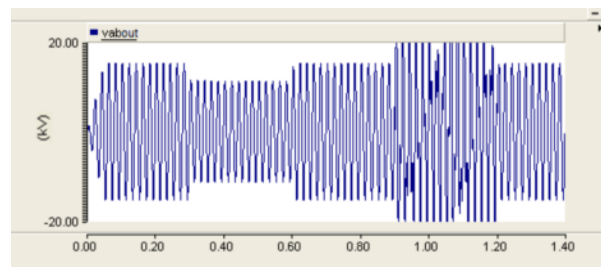
شکل (پ-۲-ج)، برای محاسبه زمان دو بردار مجاور فعال (T_0 , T_2 , T_1) و بردار صفر (T_0) طراحی شده است.

شکل (پ-۲-د)، برای محاسبه سیکل کاری سوئیچ‌ها و تولید سیگنال‌های مدولاسیون طراحی شده است. در این شکل همچنین سیگنال‌های حامل با سیگنال‌های مدولاسیون مقایسه می‌شوند و پالس‌ها تولید می‌شوند.

۴-۶- نتایج شبیه‌سازی

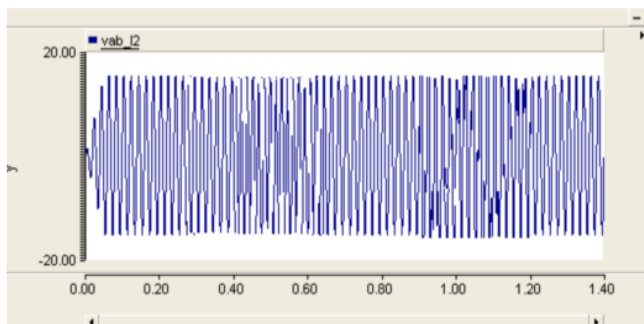
برای بررسی عملکرد D-STATCOM، یک بار اهمی- سلفی به شین اتصال می‌یابد و یک بانک خازنی سه‌فاز به شین ۱ متصل می‌شود. طی شبیه‌سازی در دوره $S1$ ، $600-3000\text{ms}$ بسته است و در دوره $S2$ ، $900-1200\text{ms}$ بسته است.

در اینجا بمنظور اهداف مقایسه‌ای بین D-STATCOM مبتنی بر SVPWM و SPWM D-STATCOM مبتنی بر SVPWM هیچ فیلتری در نظر گرفته نشده است. نتایج شبیه‌سازی در شکل‌های (۱۶) تا (۲۳) نشان داده شده است.



شکل (۱۶): ولتاژ بار در اثر کمبود و بیشبود ولتاژ سه‌فاز بدون حضور D-STATCOM

گردید و نتایج عملکرد D-STATCOM مبتنی بر هر کدام از مدولاسیونها با هم مقایسه گردید. هر دو تکنیک، ولتاژ بار را در هنگام خطا بازیابی می‌کنند اما مدولاسیون پهنه‌ای پالس بردار فضایی یک توالی سوئیچ زنی و بیزه برای کلیدهای قدرت اینورتر سه‌فاز بکار می‌برد و اعوجاج هارمونیکی کمتری در ولتاژهای خروجی یا جریان‌های خروجی نسبت به مدولاسیون پهنه‌ای پالس سینوسی تولید می‌کند و بطور مؤثرتری ولتاژ بار را بازیابی می‌کند.



شکل (۲۱): ولتاژ بار در اثر کمبود و بیشböد ولتاژ سه‌فاز با حضور SVPWM مبتنی بر D-STATCOM

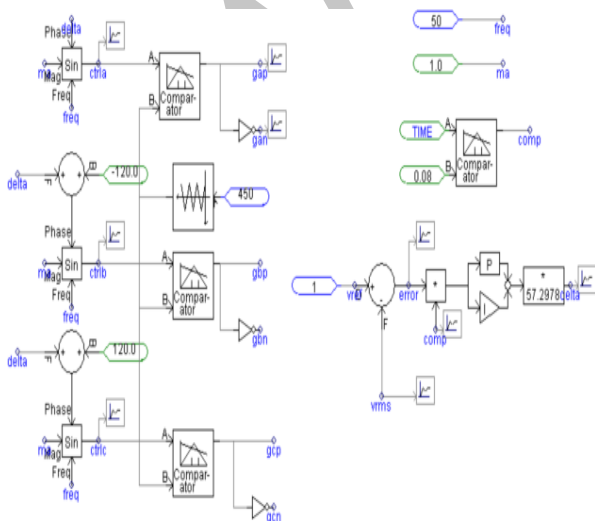
پیوست‌ها:

جدول (پ-۱): مشخصات اجزاء و بارهای شبکه نمونه

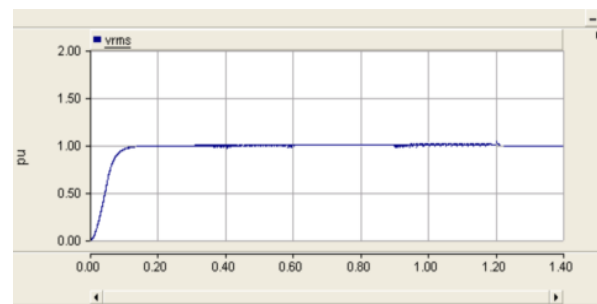
اجزا و پارامترهای شبکه	مشخصات اجزای شبکه
ولتاژ و فرکانس شبکه	۵۰ HZ و ۲۳۰ KV
امپدانس خط از شبکه تا شین ۱	/۱+/۷۵۵j
ترانسفورماتور T1	$u_k = \pm ۱۰\%$ و ۲۳۰/۱۱/۱۱ KV
اتصال ترانسفورماتور T1	سه سیم پیچه Y/Y زمین شده
امپدانس خط ۱	/۰۰ ۱+/۰ ۰۵j
امپدانس خط ۲	/۰ ۰۵+/۴ ۵j
بار ۱	۱۲/۱+۱۹/۲۶j
بار ۲	/۰ ۰ ۵+/۰ ۰ ۵۹j
بار ۳ (بانک خازنی)	سه خازن ۳μF ستاره زمین شده

جدول (پ-۲): مشخصات و مقادیر اجزای مختلف D-STATCOM

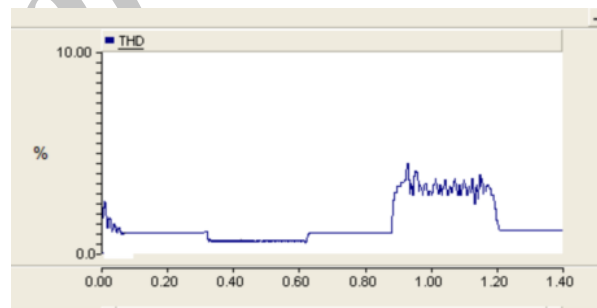
D-STATCOM	اجزا	مشخصات اجزای
DC	ظرفیت منبع	۱۹ KV
DC	خازن	۷۵۰ μF
VSI	نوع سوئیچ های قدرت	GTO
فرکانس کلیدزنی		۴۵۰ HZ
اینورتر بل	نوع اینورتر	سه فاز ۲ سطحه



شکل (پ-۱): سیستم کنترل D-STATCOM مبتنی بر SPWM



شکل (۲۲): مقدار مؤثر ولتاژ بار در اثر کمبود و بیش böد ولتاژ با حضور SVPWM مبتنی بر D-STATCOM

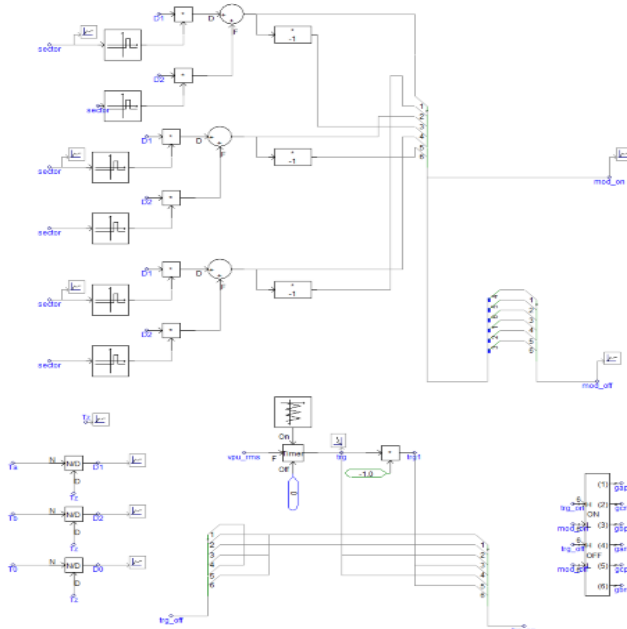


شکل (۲۳): THD: شین بار در هنگام جبرانسازی کمبود و بیش böد سه‌فاز توسط SVPWM مبتنی بر D-STATCOM

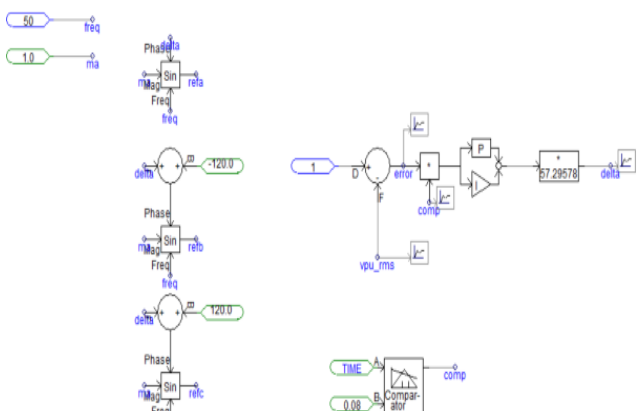
از مقایسه نتایج بدست آمده از شبیه‌سازی قابل مشاهده است که هم D-STATCOM مبتنی بر تکنیک SPWM و هم D-STATCOM مبتنی بر تکنیک SVPWM قادر به تنظیم ولتاژ بار در هنگام کمبود و بیش böد ولتاژ می‌باشند و ولتاژ بار را بازیابی می‌کنند، با این تفاوت که D-STATCOM مبتنی بر SVPWM بطور مؤثرتری ولتاژ بار را بازیابی می‌کند و اعوجاج هارمونیکی کل تولید شده در شین بار در هنگام جبرانسازی کمبود و بیش böد ولتاژ توسط D-STATCOM مبتنی بر SVPWM کمتر است.

۷- نتیجه‌گیری

در این مقاله عملکرد D-STATCOM در برابر کمبود و بیش böد ولتاژ با استفاده از مدولاسیون پهنه‌ای پالس سینوسی و مدولاسیون پهنه‌ای پالس بردار فضایی توسط نرم افزار PSCAD/EMTDC شبیه‌سازی



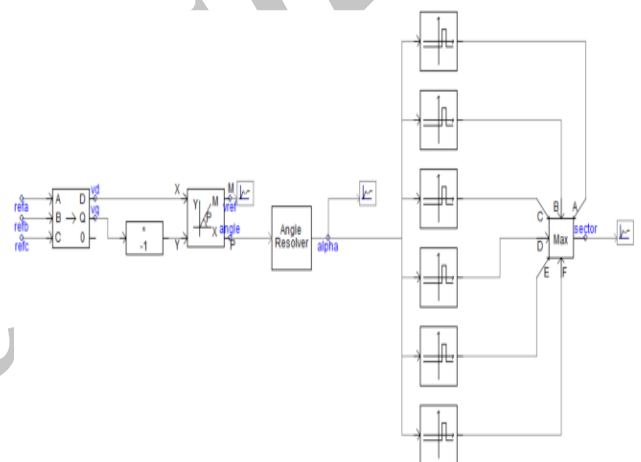
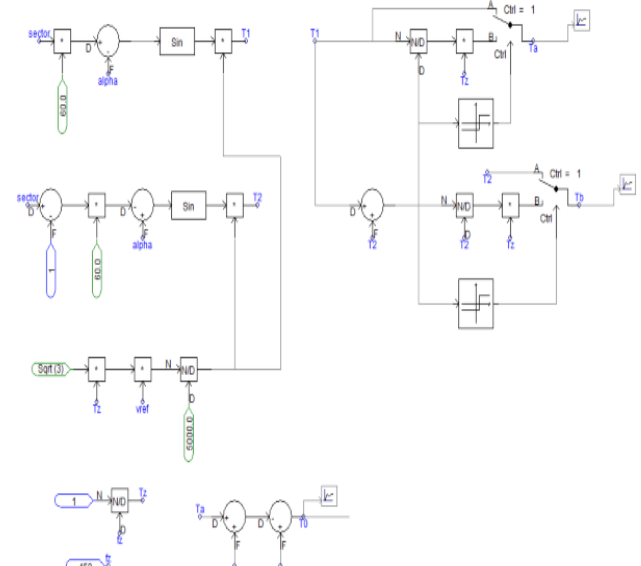
شکل (۱۷-۵): محاسبه سیکل کاری سوئیچ‌ها و تولید سیگنالهای مدولاسیون



شکل (۱۷-۶(الف)): محاسبه اندازه کمبود و بیشود ولتاژ و تولید سیگنال مرتع

مراجع

- [1] Omar, R., Abdrahim, N., "Mitigation Of Voltage Sags/Swells Using Dynamic Voltage Restorer (DVR)", ARPN Journal of Engineering and Applied Sciences, Asian Research Publishing Network, Vol. 4, No. 4. 2009
- [2] Bayindir, K., "Modeling Of Custom Power Devices", Ph.D Thesis, University Of Çukurova , Department Of Electrical And Electronics Engineering, 2006.
- [3] O. Anaya-Lara, E. Acha, "Modeling and analysis of custom power systems by PSCAD/EMTDC", *IEEE Trans*, Vol. 17, No. 1, pp.266-272, January 2002.
- [4] Ashwin Kumar Sahoo T. Thyagarajan, " Modeling of Facts and Custom Power Devices in Distribution Improve Power Quality "Third International Conference on Power Systems, Kharagpur, INDIA December,2009
- [5] XiangQian, T., Keqing, X. , Ming, SH., Xianhong, MA., "Reactive Power and Unbalance Compensation with DSTATCOM", IEEE
- [6] Jeon, Y.S., Kwak, N.H., Choo, J.B, 2005," Analysis of Voltage Regulation by D-STATCOM Using the EMTDC Program", Journal of Power Electronics, Vol. 5, No. 4.
- [7] Keliang Zhou and Danwei Wang " Relationship Between Space-Vector Modulation and Three-Phase Carrier-Based PWM " IEEE Transactions On Industrial Electronics, Vol. 49, No. 1, February 2002.
- [8] Khalid, A.KH., Bhutto, GH.M," Optimal use of energy storage for series connected voltage source converter", Master of Science Thesis in the Master Degree Programme, Electric Power Engineering, Sweden, 2010.
- [9] Vasudevanaidu, P., Narendra, Y., "A New Simple Modeling and Analysis of Custom Power controllers", Third International Conference on Power Systems, Kharagpur, India, 2009.
- [10] S.V Ravi Kumarand S. Siva Nagaraju " Simulation Of D-STATCOM And DVR In Power Systems "Arpn Journal Of Engineering And Sciences, Vol. 2, June 2007.
- [11] Jung, J.W," Project Space Vector PWM Inverter", Mechatronic Systems Laboratory Department of Electrical

شکل (۱۷-۶(ب)): محاسبه اندازه ولتاژ مرجع V_{ref} و زاویه α و تعیین سکتور

شکل (۱۷-۶(ج)): محاسبه زمان دو بردار مجاور فعال و بردارهای صفر

(۱۳۸۰) سپری کرده است. فعالیت‌های پژوهشی ایشان در زمینه سیستم‌های قدرت، الکترونیک قدرت و بهینه‌سازی فازی می‌باشد.



وحید خرمشاهی در سال (۱۳۶۱) در شهرستان دزفول متولد شد. تحصیلات دانشگاهی خود را در مقطع کارشناسی مهندسی برق - الکترونیک از دانشگاه آزاد اسلامی واحد دزفول (۱۳۸۳)، کارشناسی ارشد مهندسی برق - الکترونیک از دانشگاه آزاد اسلامی واحد دزفول می‌باشد.

- And Computer Engineering The Ohio State University, 2005.
- [12] Keyhani, K., "Pulse-Width Modulation (PWM) Techniques "Department of Electrical and Computer Engineering The Ohio State University.
 - [13] Masood, Ch. T., Edris, A.A., Aggarwal, R., "Space Vector (PWM) Digital Control and Sine (PWM) Pulse Width Modulation modelling, simulations Techniques & Analysis by MATLAB and PSIM (Powersys)", University of Engineering & Technology Lahore Pakistan.
 - [14] K. Vinoth Kumar, Pravin Angel Michael, Joseph P. John and Dr. S. Suresh Kumar "Simulation and Comparison of SPWM and SVPWM Control For Three Phase Inverter" School of Electrical Sciences, Karunya University, Coimbatore, Tamilnadu, India ARPN Journal of Engineering , JULY 2010
 - [15] Gajdusek, P., "Programable Laboratory Invertor And Space Vector PWM", Doctoral Degree Programme (2) Dept. of Electrical Power Engineering, FEEC, VUT.

زیرنویس‌ها

- ^۱ - Distribution Static Synchronous Compensator
- ^۲ - Sinusoidal Pulse Width Modulation
- ^۳ - Space Vector Pulse Width Modulation
- 4 - Voltage Sag
- 5 - Voltage Swell
- 6 - Voltage Source Converter
- 7 - Pulse Width Modulation
- 8 - Total Harmonic Distortion
- 9 - Flywheel Energy Storage Systems
- 10 - Superconducting Magnetic Energy Storage
- 11 - Gate Turn-Off Thyristors
- 12 - Insulated Gate Bipolar Transistors
- 13 - Metal Oxide Semiconductor Field Effect Transistors
- 14 - Integrated Gate Commutated Thyristors

رزومه



حسن براتی در سال (۱۳۴۸) در شهرستان دزفول متولد شد. تحصیلات دانشگاهی خود را در مقطع کارشناسی مهندسی برق - الکترونیک از دانشگاه صنعتی اصفهان (۱۳۷۱)، کارشناسی ارشد مهندسی برق - قدرت از دانشگاه تبریز (۱۳۷۵) و دکترای مهندسی برق - قدرت از واحد علوم و تحقیقات تهران (۱۳۸۶) سپری کرده است. فعالیت‌های پژوهشی ایشان در زمینه تجدید ساختار در صنعت برق، ادوات FACTS، قابلیت اطمینان در سیستم‌های قدرت می باشد و در حال حاضر استادیار گروه برق دانشگاه آزاد اسلامی واحد دزفول می‌باشد.

حمید کریمی در سال (۱۳۶۲) در شهرستان کازرون متولد شد. تحصیلات دانشگاهی خود را در مقطع کارشناسی مهندسی برق - قدرت از دانشگاه آزاد اسلامی واحد کازرون (۱۳۸۵)، کارشناسی ارشد مهندسی برق - قدرت از از دانشگاه آزاد اسلامی واحد دزفول (۱۳۹۰) سپری کرده است. فعالیت‌های پژوهشی ایشان در زمینه ادوات FACTS، کیفیت توان و الکترونیک قدرت می‌باشد.

علیرضا سیفی در سال (۱۳۴۷) شهرستان



شیراز متولد شد. تحصیلات دانشگاهی خود را در مقطع کارشناسی مهندسی برق - الکترونیک از دانشگاه شیراز (۱۳۷۰)، کارشناسی ارشد مهندسی برق - قدرت از دانشگاه تبریز (۱۳۷۲) و دکترای مهندسی برق - قدرت از دانشگاه تربیت مدرس